

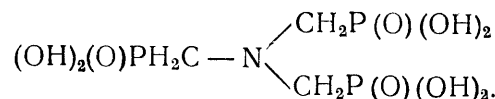
УДК 547.419.1'172.3

НИТРИЛОТРИМЕТИЛФОСФОНАТЫ ЖЕЛЕЗА(III)

А. Ю. КИРЕЕВА, М. З. ГУРЕВИЧ, Н. Ф. ШУГАЛ, В. Я. ТЕМКИНА

Дефицит Fe в тканях живых организмов приводит к анемии. Установлено, что в качестве источника Fe, например, для регенерации гемоглобина в крови эффективен этилендиаминтетраацетат железа [1], который, однако, обладает рядом недостатков. В качестве приемлемого соединения ранее был предложен диэтилентриаминпентаацетат железа, который применяется в последние годы для решения аналогичной задачи, связанной с дефицитом Fe у сельскохозяйственных культур [2]. Поиск путей создания ассортимента комплексов Fe для подобных целей привел нас к фосфорсодержащим органическим комплексообразующим агентам, широко применяемымся, в частности, для решения задач медицины [3].

Цель настоящей работы — выделить и исследовать продукты взаимодействия Fe(III), образующиеся в широком интервале pH, с перспективным фосфорилированным комплексоном — нитрилотриметилфосфоновой кислотой (НТФ, H_6L):



ЭКСПЕРИМЕНТАЛЬНАЯ ЧАСТЬ

Изучению свойств и строения НТФ посвящен ряд работ, детально проанализированных и обобщенных в [4].

Характер кривых pH-метрического титрования комплексона в присутствии Fe(III) при различных соотношениях металла и лиганда ($M:L$) отличается от кривой титрования НТФ; значительное снижение первых в область более низких pH и выпадение осадков указывает на протекающие процессы комплексообразования. Анализ pH-метрических кривых (рис. 1) при соотношениях $M:L = 1:1, 2:1, 3:2$ показывает, что в изучаемой системе образуется не менее трех типов комплексов: малорастворимые (в виде осадков) в области $a^*=0—3$ при pH 2,0—4,8 и растворимые при $a=5—6$ (pH 4,8—6,7) при соотношениях $M:L=1:1$ и 3:2, а также малорастворимые в области $a=5—6$ в системе, где $M:L=2:1$. Для решения вопроса о соотношениях M и L в водорастворимых комплексах использовали, помимо данных pH-метрии, методы высокочастотного титрования и спектро-фотометрические измерения.

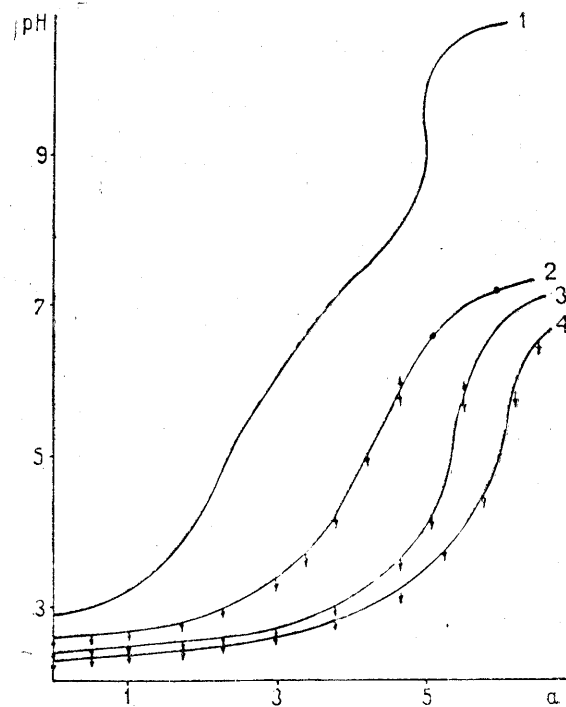


Рис. 1. Кривые pH-метрического титрования щелочью растворов $1 \cdot 10^{-3}$ моль/л НТФ (1); то же в присутствии $1 \cdot 10^{-3}$ моль/л $Fe(NO_3)_3$ (2); то же в присутствии $1,5 \cdot 10^{-3}$ моль/л $Fe(NO_3)_3$ (3); то же в присутствии $2 \cdot 10^{-3}$ моль/л $Fe(NO_3)_3$ (4)

* a — количество г/моль щелочи, приходящееся на г/моль кислоты, эквиваленты.

Установлено, что растворимая форма является моноядерной и отвечает соотношению $M:L=1:1$. На основании общих положений рН-метрии можно предположить, что в области оттитровывания шестого протона образуется преимущественно нормальный комплекс вида FeL^{3-} , которому предшествуют формы FeHL^{2-} и FeH_2L^- . По данным рис. 1 (область растворов) вычислены отрицательные логарифмы констант устойчивости (pK) указанных комплексов и гидрооксокомплекса FeLOH ; они составляют: 15,57; 9,88; 6,10; 20,8 единиц pK соответственно.

ИК-спектр системы $M:L=1:1$ в области $\text{pH} 6$, 1 свидетельствует о том, что в растворе, кроме нормального комплекса, сохраняется частично монопротонированная форма. Положение центра дублета расщепленной полосы $\nu_d\text{PO}$ при 1105 cm^{-1} , наличие поглощения νCH в высокочастотной области спектра ($\sim 3000 \text{ cm}^{-1}$), а также отсутствие полос, характеристичных для фосфоновых групп в форме PO_3H^- , свидетельствуют о том, что сохраняющийся в комплексе вида FeHL^{2-} протон, имеет, по-видимому, бетаиновый характер.

При помощи турбидиметрических измерений и данных элементного анализа найдено, что осадок, образующийся в системах $M:L=1:1$ и $3:2$ в кислых областях, отвечает составу $\text{Fe}_3\text{H}_3\text{L}_2$, а при избытке Fe(III) и повышении щелочности раствора возможно образование нуль-зарядного комплексоната Fe_2L .

Оба соединения выделены и охарактеризованы; они представляют собой желтоватые порошки, практически нерастворимые в воде. Их произведения растворимости (ПР), рассчитанные по методу Бабко по формулам:

$$\text{PR}_{\text{Fe}_3\text{H}_3\text{L}_2} = [\text{Fe}]^3 [\text{H}]^3 [\text{L}]^2,$$

$$\text{PR}_{\text{Fe}_2\text{L}} = [\text{Fe}]^2 [\text{L}],$$

где

$$[\text{Fe}] = C_{\text{Fe}}; \quad [\text{L}] = \frac{[\text{Fe}]}{f};$$

$$f = 1 + \frac{[\text{H}]}{K_6} + \frac{[\text{H}]^2}{K_6 K_5} + \dots + \frac{[\text{H}]^6}{K_6 \dots K_1},$$

составляют $5,16 \cdot 10^{-53}$ и $4,08 \cdot 10^{-59}$ соответственно.

Ввиду аналогии свойств комплексонатов более детально изучен $\text{Fe}_3\text{H}_3\text{L}_2$.

В таблице приведены значения важнейших частот в ИК-спектрах поглощения комплексоната и его дейтероаналога.

Значения важнейших частот в ИК-спектрах поглощения $\text{Fe}_3\text{H}_3\text{L}_2$ (1) и его дейтероаналога (2)

Комплексонат	$\nu_d\text{PO}$	νCH	νNH (ND)	δNH	νOH (OD)
1	1080—1040 о. с. ш.	2955 о. сл. 3008 сл.	—	1285 пл	3100—3500
2	1080—1132 о. с. ш.	2954 с 3010 с	2326 с	925 пл	2374—2466

Сложность расшифровки ИК-спектров комплексоната связана, вероятно, с неупорядоченностью структуры координационного полимера и наличием системы водородных связей. Так, в области поглощения колебаний фосфоновых групп наблюдается широкая интенсивная полоса, имеющая несимметричный характер. Максимум этой полосы, расположенный при 1100 cm^{-1} , свидетельствует в пользу существования в структурах фосфоновых групп в форме PO_3^{2-} (и PO_3H^-), испытывающих индуктивное влияние бетаинового N.

В спектре дейтероаналога комплексоната наблюдается интенсивный дублет с центром при 1106 cm^{-1} ($\nu_d\text{PO}_d$), в виде плеча к которому имеется полоса при 925 cm^{-1} (δND). Кроме того, в спектре отмечаются средней интенсивности полосы νCH , значения которых однозначно указывают в пользу существования связи N—H(D). Эти данные подкрепляются наличием полосы $\nu\text{N—D}$ в области 2326 cm^{-1} . На основании этого можно утверждать, что происходит реализация только связи Fe—O фосфоновых групп; связь Fe—N отсутствует, причем обезвоживание комплексоната не приводит к разрыву связи N—H.

Термолиз комплексоната изучен дериватографически на воздухе со скоростью 6 и 9 град/мин (рис. 2). При обеих скоростях нагрева первая стадия (дегидратация) протекает одноступенчато при $40—215^\circ\text{C}$ и сопровождается слабо выраженным эндоэффектом с $T_{\text{экстр}} \downarrow = 105^\circ\text{C}$. Кинетические параметры процесса дегидратации (определенные по методу Горовица—Мецгера [5]: кажущаяся энергия активации $E_a = 6,75 \text{ ккал/моль}$ и логарифм предэкспоненциального множителя $\lg A = 7,0$) лежат в обычных для процесса дегидратации пределах. Убыль массы, четко фиксируемая по кривой ТГ, находится в хорошем соответствии с теоретической потерей 7 молей воды и составляет 13,4%. Выдерживание комплексоната на воздухе в течение нескольких суток показало, что соединение негигроскопично; результаты элементного анализа

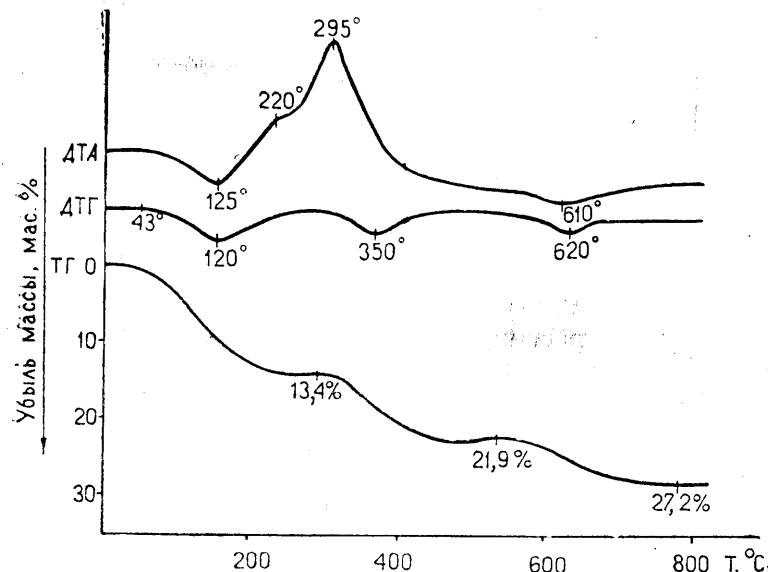


Рис. 2. Дериватограмма $\text{Fe}_3\text{H}_3\text{L}_2$

его совпадают с теоретическим расчетом для безводного продукта (для безводного $\text{Fe}_3\text{H}_3\text{L}_2$ вычислено, %: C 9,71; P 25,99; N 3,56; найдено, %: C 9,14; P 25,52; N 3,08).

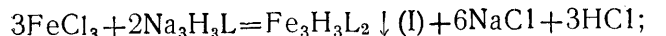
По окончании дегидратации почти сразу на кривой ТГ наблюдается экзоэффект при 220°C , он не сопровождается убылью массы, что может свидетельствовать о фазовой перестройке образовавшегося безводного продукта. При дальнейшем нагреве наблюдается четкий эффект с $T_{\text{экстр}} \uparrow = 295^\circ\text{C}$, который соответствует началу разложения органической части комплексоната. Процесс протекает в две стадии: в интервале $310 - 540^\circ\text{C}$ удаляется 8,5% массы, при этом на кривой ДТА фиксируется перегиб при 350°C ; на второй стадии разложения ($540 - 770^\circ\text{C}$) потеря массы 5,3% сопровождается экзоэффектом с $T_{\text{экстр}} \uparrow = 720^\circ\text{C}$. В дальнейшем образуются устойчивые продукты разложения комплексоната, о чем свидетельствует горизонтальная площадка на кривой ТГ. Расчеты по общей убыли массы при нагреве до 1200°C свидетельствуют, что конечным продуктом термолиза является смесь фосфатов железа переменного состава.

Анализ спектров ЭПР комплексонатов свидетельствует о том, что симметрия ближайшего окружения центрального атома октаэдрическая. Образцы имеют спектры, характерные для Fe(III) в высокоспиновом состоянии $^6\text{A}_1$ — одну широкую симметричную линию. При этом

Fe(III) находится стабильно в оксидной форме. Можно полагать, что причиной появления синглетной линии является обменное взаимодействие антиферромагнитного типа, что наблюдается при образовании полиядерных структур. Магнитные свойства $\text{Fe}_2\text{H}_3\text{L}_2 \cdot 7\text{H}_2\text{O}$ описываются законом Кюри—Вейсса; константа Вейсса довольно велика ($\theta = 51^\circ$), что подтверждает взаимодействие межмолекулярного типа, видимо, за счет образования мостиковых связей фосфоновыми группами*. Линейный характер зависимости I/χ_m от T , K указывает на фазовую однородность образца.

Найденные из рентгеноэлектронных спектров значения энергий связи электронов составляют для атомов: Fe 713,0; N_{1s} 402,5; P 133,8 эВ. Величина энергии связи для атома N подтверждает отсутствие координации Fe—N, но указывает, в частности, на 4-координационный характер взаимодействия атома, что является свидетельством в пользу полимерно-мостиковой структуры комплексоната в целом.

Синтез обоих соединений: малорастворимого (I) и хорошо растворимого (II) — осуществлен по стехиометрии реакций:



и технологически отработан.

ЛИТЕРАТУРА

1. Hawkins W. W. Nutr N. Y-L. Academic Press, 1964, 310—349.
2. Расторгуева Л. И., Островская Л. К. Агрономия, 1971, № 5, с. 103—112.
3. Бихман Б. И., Юрьева Э. А., Уринович Е. М. Клинич. медицина, 1976, 54, № 12, с. 99.
4. Никитина Л. В. Комплексные соединения алюминия и элементов второй группы с нитрилотриметилфосфоновой кислотой. Автореф. дис. на соиск. учен. степени канд. хим. наук. М., 1976 (ИРЕА).
5. Hogowitz H., Metzger G. Analyt. Chem., 1963, 35, 1464.

* Данные γ -резонансных спектров показывают, что димерные структуры, характерные для комплексонатов, например Fe-ЭДТА, здесь не реализуются.